

平成 12 年度
学士学位論文

FPGA による自己タイミング型パイプライン演算機構の実現

A FPGA Implementation of Self-Timed Pipelined
ALU

1010441 古家 俊之

指導教員 岩田 誠 助教授

2000 年 12 月 1 日

高知工科大学 情報システム工学科

要 旨

FPGA による自己タイミング型パイプライン演算機構の実現

古家 俊之

超高性能、極省電力を達成可能な自己タイミング型パイプライン機構によるデータ駆動型 VLSI プロセッサ DDMP が開発され、現在、商品化の途についたばかりである。

このような状況で、さらに応用分野を拡大するためには、各応用分野にある程度特化した DDMP を迅速に設計、開発することが要請されている。

従来はシミュレーションによって設計検証をおこなっていたが、VLSI システムが大規模化する傾向にある昨今、検証時間が膨大になる問題がある。

本研究では、実用的規模の回路を作り込める最近の FPGA を活用して新規開発 DDMP の設計内容を短時間で検証する手法の確立を目的としている。よって、本論文では、FPGA 上での自己タイミング型パイプライン処理機構の最適設計指針を示し、その結果をもとに最適パイプラインステージ数を導き出し算術、論理演算機構に適用し目標性能を達成できる見通しを得た。

キーワード FPGA、DDMP、自己タイミング型パイプライン処理機構

Abstract

A FPGA Implementation of Self-Timed Pipelined ALU

Toshiyuki Furuie

A data driven VLSI processor DDMP which achieves by super-high performance and ultra low power consumption by the self-timing pipelined mechanism was developed, and it is on the middle to the way to apply various commercial fields.

It is highly required to tall down the design and developing time that DDMP which specialized in each applicable field to some extent is designed and developed quickly to customise DDMP chip, because it is important to sell products at the high time.

The simulation method was used for design verification conventionally, but there was a problem to which verification time becomes huge these days according to the increasing size of VLSI systems.

A method which utilizes the latest FPGA which makes and puts the circuit of a practical scale, and verifies the contents of a design of target DDMP chips for a short period of time is aimed in this research.

Therefore, in this paper, the optimum design parameters of the self-timed pipeline processing mechanism on FPGA was clearly shown, and the prospect that the number of optimum pipeline stages was drawn on the basis of the result, it applied to arithmetic and a logic operation mechanism, and a target performance could be attained was acquired.

key words F P G A、 D D M P、 Self-timed pipeline processing mechanism

目次

第 1 章	序論	1
第 2 章	データ駆動プロセッサの構造	4
2.1	データ駆動プロセッサの動作	4
2.2	各ブロックの説明	6
2.2.1	M (Flow Merging Module) 部	6
2.2.2	MM (Matching Memory) 部	6
2.2.3	FP (Functional Processing Unit) 部	6
2.2.4	CPS (Cache Program Storage) 部	7
2.2.5	D (Flow Diverting Module)	7
第 3 章	論理的な最適設計指針の検証	8
3.1	ゲート数とゲート段数	8
3.1.1	ゲート数とゲート段数の性質	8
3.1.2	共有化によるゲート数の減少	9
3.1.3	共有化の不可能な例	9
3.2	パイプラインステージ	10
3.2.1	パイプラインステージ化のスループットの上昇	11
3.2.2	ゲート段数の違いにより生じるスループットの変化	12
3.2.3	パイプラインステージ数とスループットの関係	16
3.2.4	パイプラインステージ数とハードウェア領域の関係	18
3.2.5	パイプラインステージ数の論理的最善数	19
第 4 章	FP(Functional Processing Unit) 部の設計と構造	20
4.1	設計指針	20

目次

4.2	FP (Functional Processing Unit) 部の構造	20
4.2.1	C(Self-timing transfer control circuit)	21
4.2.2	Operation 部	22
	論理演算	23
	シフト (Logical Shift)	23
	算術演算	23
	比較	23
	条件分岐	24
	世代操作	24
	その他	25
4.2.3	DECODE 部	25
4.2.4	SELECT 部	26
4.3	設計	26
4.3.1	設計指針 1 - 共有化	26
4.3.2	設計指針 2 - パイプライン化	28
4.3.3	再利用への対応	29
第 5 章	結論	31
	謝辞	32
	参考文献	33
付録 A	FP 部の各命令のアルゴリズム	34
A.1	論理演算	34
A.2	シフト	34
A.3	算術演算	34
A.4	比較	35

目次

A.5	条件分岐	36
A.6	世代操作	37
A.7	その他	37

目次

2.1	プログラム	4
2.2	Basic structure of data-driven processor	5
2.3	パケットフォーマット	5
3.1	シンボル内の段数の決定	8
3.2	共有化の例	9
3.3	共有化の不可能な例	10
3.4	パイプラインステージ	10
3.5	ステージ数	11
3.6	パイプラインステージ2段	12
3.7	パイプラインステージ数n個	14
3.8	$y = -\frac{T+a}{a^2n+-(a-T)a} + \frac{1}{a}$ のグラフ	17
3.9	$y/2 = -\frac{1}{bn+H+1}$ のグラフ	18
3.10	スループット性能の上限	19
4.1	FP部の構造図	21
4.2	入力パケット(上)、出力パケット(下)	21
4.3	DECODE部の構造	25
4.4	共有化をおこなった命令	26
4.5	最適パイプライン	29
A.1	ABSの構造図	36
A.2	GEの構造図	37

表目次

4.1 Op.code 表 1	22
4.2 Op.code 表 2	22
4.3 独自アルゴリズム	28
4.4 SUB 出力	28
A.1 Over Flow	35

第 1 章

序論

II 革命といわれる近年、インターネットの普及に伴いコンピューターのソフトウェア、ハードウェアをはじめ関連分野の研究、発展は目まぐるしいものとなり、従来使用していたものも数多く新しいものへと変化している。その数多くの変化の1つに非ノイマン型プロセッサの開発が挙げられる。

従来使用されていたノイマン型コンピュータは、1945年、フォアノイマンによって提案された。これはコンピュータの主記憶装置（現在のRAMに相当している部分）の中にデータだけではなくて、プログラムも一緒に入れられる方法である。この方法を擁したプログラム内蔵型コンピュータでは内蔵されたプログラムに従って、命令を1つずつ順番にCPU（中央演算処理装置）に、プログラムカウンタという一種の制御装置を用いて呼び出して実行する。しかし、この制御装置は各プロセッサに1つしかないために命令は1度に1つずつしか読み出せないという弱点を持つ。このような方法を使用しているプロセッサををノイマン型プロセッサといい、ノイマン型プロセッサを擁すコンピュータをノイマン型コンピュータという。またこれらは今日までコンピュータの基本となっており現在使われているコンピュータのほとんどがノイマン型である。

一方、非ノイマン型では、プログラムはデータが入力されることによって読み出され、データが複数入力されれば複数のプログラムが読み出されるため、並列にデータ処理が行える、このため高速処理が可能になり画像認識など高度な処理もリアルタイムで実行することができる。また、データに制御機能をもたせて、演算部にデータが揃った時だけ作動するクロックレス構造により、低消費電力でプロセッサを動作させることができる [2]。以上のことより、非ノイマン型並列処理方式であるデータ駆動プロセッサに焦点をあてる。

ここでデータ駆動プロセッサの簡単な歴史について触れる。非ノイマン型の並列処理プロセッサは、当初超高速コンピュータを実現するために開発された。シャープでは1983年、民生機器の高機能化、小型化、および低価格化を目指し、開発に着手した。その後、世界で初めての非ノイマン型データ駆動方式により、映像、画像、音声などの膨大なマルチメディア情報を、超低消費電力で高速・並列処理する、次世代のデータ駆動メディアプロセッサ<DDMP>を開発した。[2]

では、そのデータ駆動プロセッサを作成するとき、実際のカスタムLSI上で作成をおこなうには、時間的にも経済的にも無理であるうえリスクが伴うという問題がある。そこで登場するのがFPGAである。

FPGA (Field Programmable Gate Array) とは、ハードウェアを設計データによって、動的に（使用時に）作り変えることができるゲート・アレイである。**FPGA**にはいろいろなタイプがあるが、ここでは**SRAM**（スタティック・ラム）型を例にとって概念的な説明をすると、外部から**FPGA**に書かれた情報によって、多数の論理ブロックを一時的に結線し動作させるものである。まず、普通のコンピュータを使って回路をハードウェア記述言語により記述し、コンパイルし、構成データを作る。動作のシミュレーションが**OK**となれば、構成データは**FPGA**へダウンロードされる（構成データは普通の**SRAM**へ書き込むように**FPGA**へ書き込まれる）。構成データにしたがって、あらかじめ**FPGA**内部に用意されている種々の論理ゲート、論理関数、マクロなレジスタや論理ブロックが結線される。実行段階に入ると、**FPGA**中に構成されたものは、入力ピンからの信号を受けて論理動作を行ない出力ピンに結果を出力する。カスタムチップや**ASIC**のように永続的なハードウェアが構成されるのではなく、**SRAM**に書かれた構成データに応じて一時的に回路ができていただけである。したがって、電源を切れば、回路はリセットされる。

このように**FPGA**中に構成された回路は、ハードウェアかソフトウェアかは一概に言えない。もしコンピュータのメモリ中の情報をソフトウェアであると定義すれば、これはソフトウェアだし、回路が普通のハードウェアと同じように演算を実行するという意味ではハードウェアとも言える。最近では、内部の論理ブロックはますますマクロ化し、また実行時に部

分的な再構成も可能なものが市場に現れている。[1]

また、従来のハードウェアは高価なので、どうしても応用問題毎に（専用的に）作るわけにはいかない。しかし **FPGA** を使えば専用マシンを安価で作り込めるのである。

これまでに、自己タイミング型パイプライン機構によるデータ駆動型 **VLSI** プロセッサが開発され、現在、商用化の途についたばかりである。このような状況で、さらに応用分野を拡大するためには、各応用分野にある程度特化した **DDMP** (**Data - Driven Media Processor**) を迅速に設計・開発することが重要になってくる。従来は、シミュレーションによって、設計内容を検証したが **VLSI** システムが大規模化する傾向にある現状では、時間がかかりすぎる。したがって本研究では、前述したように実用的規模の回路を作り込める最近の **FPGA** を活用して新規開発 **DDMP** の設計内容を短期間で検証する手法の確立を目的としている。

本論文では **FPGA** 上での自己タイミング型パイプライン処理機構の最適設計指針を示し、算術論理演算機構に適用した。

以下 2 章ではデータ駆動プロセッサの構造について記述し、3 章ではハードウェア、スループットを中心に論理的に最善策を検証する。また 4 章では **FP** (**Functional Processing Unit**) についての構造について述べ、3 章での論理的な最善策に従って設計をおこなう。

第 2 章

データ駆動プロセッサの構造

2.1 データ駆動プロセッサの動作

データ駆動プロセッサでは、図 2. 1 で示すようなデータ駆動プログラムの演算を行なうことが可能である。これらはあるノードからその後続ノードへの有向枝（アーク）のリストから構成されており、パケットデータのヘッダ部分に連結される。

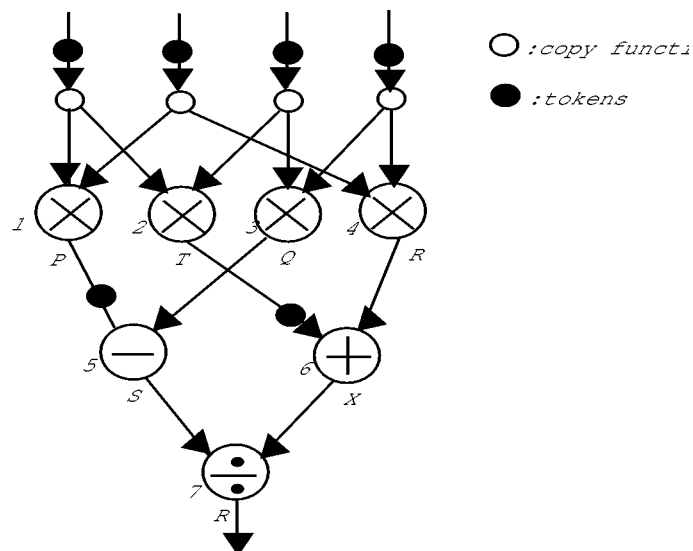


図 2.1 プログラム

図 2. 2 は基本的なデータ駆動プロセッサの構造を示している。まず外部よりデータパケット (図 2. 3 参照) が入力され、その後適切な合流モジュール (**M: Flow Merging Module**) を通過して、パケットは待ち合わせ記憶部 (**MM: Matching Memory**) に至る。ここでは、世代照合を行ない対になるパケットが到着するまで保持される。もし、ここで対になるパケットが到着すれば 2 つのパケットは **Dest node**(行き先ノード), **Generation id**(世

2.1 データ駆動プロセッサの動作

代番号), **Operation code**(オペレーションコード), とデータ同士を結合し1つのパケットを生成し関数的処理ユニット (**FP : Functional Processing Unit**) に送られる。ここでは **Operation Code** で指定された演算の結果とそれに伴うデータを適切に書き換える。その後 **CPS** に送られる。

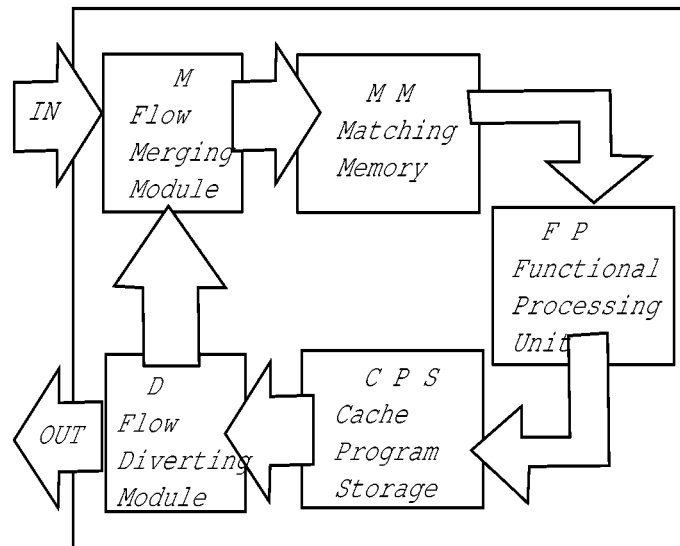


図 2.2 Basic structure of data-driven processor

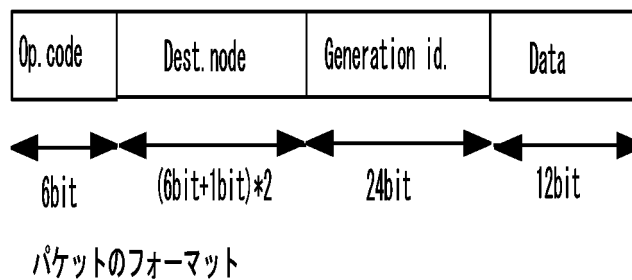


図 2.3 パケットフォーマット

CPSでは図2. 1のようなプログラムから **Operation Code**、**Dest node**、定数フラグなどが **CPS** メモリ内に保持されており、送られてきたパケットの次の行き先を書き換える。このときのパケットの形式は入力パケットと同様の形式である。最後に分流モジュール (**D : Flow Diverting Module**) に送られ行き先に適した場所へと送られる。

2.2 各ブロックの説明

2.2 各ブロックの説明

では、次に各ブロックについて構造を簡単に説明する。

2.2.1 M (Flow Merging Module) 部

合流要素Mでは2つの独立な自己同期パイプラインから単一な自己同期パイプラインを通るパケットの流れへ、2つのパケット流を結合する。合流要素Mに到達するパケットの流れは、最初に来たものから処理される。もしほぼ同時に2つのパケットが到着したら、2つの衝突発進信号が、調停操作回路での飽和反応型SRフリップフロップの1連の動作によって調停される。このブロックでは、2つのゲート信号のうち1つを、ラッチパルスとSend-Output信号を作動させるようにするので、最初のパケットは、調停信号によって2つのデータパスを多重通信式にしてインพุットパスからアウトプットパスに移される。その時、ラッチパルスは調停操作回路にフィードバックされて、他のパケットはアウトプットパスに伝えられる。

2.2.2 MM (Matching Memory) 部

ここでは、前述の合流要素Mより送られてきたパケットの **Generation.id**(世代番号) を判断基準として2つのパケットを1つにする。**Generation.id**(世代番号) が同一のパケット同士を1つにし、あらかじめプログラムを読み込み記憶しているメモリにアドレス、データ、読み込み信号を送り、**Dest.Node** (行き先ノード) **Op.code** (オペレーションコード) を読み取り、それらを付け加えて次のブロックへと送られる。

2.2.3 FP (Functional Processing Unit) 部

設計や構造については、4章で詳細を示すが簡単に説明をおこなう。FP部ではプログラム上でいう演算処理を行なう。本研究では演算処理の基本命令は、**AND**、**OR**、**EXOR**、**NAND**、**NOR**、**ENOR**、**ADD**、**SUB**、**ABS**、**DIF**、**SYNC**、**NOP**、**SGN**、**AGN**、**BIT**、

2.2 各ブロックの説明

SWBIT、EQ、SWEQ、GE、SWGE、GT、SWGt、LSH、MAX、MINの全25種を実現した。(詳細は4章、付録Aを参照)。パケットの流れとしては、FP部への入力パケットより Op.code (オペレーションコード) で指定された演算の結果を出力しCPSへと送る。

2.2.4 CPS (Cache Program Storage) 部

FP部より流れてきたパケットより **Dest.node**(行き先ノード) を読み取り、MM (Matching Memory) と同様にメモリにアドレス、読み取り信号を送り古い **Dest.node** は新しい **Dest.node** に置きかえられる。したがって、出力パケットはデータ駆動プロセッサへの入力パケットと同一形式で生成される。

2.2.5 D (Flow Diverting Module)

分流要素 **D** は、2つの自己同期パイプラインにパイプラインを分ける。2つのアウトプットパイプライン間の切り替えは、インプットパケットに含まれている1つ以上の特定のフラグによりコントロールされる。もしすべてのフラグがアクティブなら、分流要素 **D** は2つのパイプラインにパケットの流れを複写する。

第 3 章

論理的な最適設計指針の検証

3.1 ゲート数とゲート段数

ここでは、主に F P 部内部の基本命令の設計に関わるゲート数とゲート段数について検証する。また、共有化の説明をおこない、基本命令の 1 つである G E のアルゴリズムの決定について最善策を模索する。

3.1.1 ゲート数とゲート段数の性質

ゲート数が増加すればするほど、ハード量は増加する。このときゲート段数が増加しなければ（既存のゲートとの並列処理ならば）スループット（時間効率）に変化は無い。

ゲート段数とは並列になっているゲートの段数であり、ゲート段数が増加するとスループットは低下する。また、1 つのシンボル（モジュール）内で 2 つの並列な処理が行なわれる場合（図 3. 1 参照。）、A のゲート段数と B のゲート段数を比べたときにゲート段数が多い方に依存されるので、この場合は B に依存されこのシンボルのゲート段数は 4 と最後の A N D ゲートを加えた値となるので 5 となる。

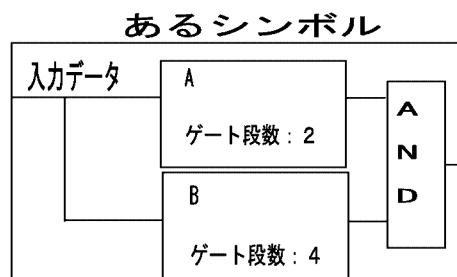


図 3.1 シンボル内の段数の決定

3.1 ゲート数とゲート段数

3.1.2 共有化によるゲート数の減少

並列処理の共有化を行ない無駄なハード領域（ゲート数）を減少させる。**ABS** を例に挙げて説明する。図 3. 2 で示すように共有化前の **ABS** 命令では **ADD** 後残りの演算をおこなうが、**ADD** での結果を **ABS** の入力とすれば今まで使用していた **ADD** のハード領域の無駄が省ける。これによって、ゲート数の減少をはかる。ただし、このことによって図中の **ABS** は **ADD** の出力結果がないと出力することができなくなる。よって、**ABS** の出力結果を出すのに必要なゲート段数は、アルゴリズムに違いが無ければ共有化する前と後とでの変化は見られないということである。

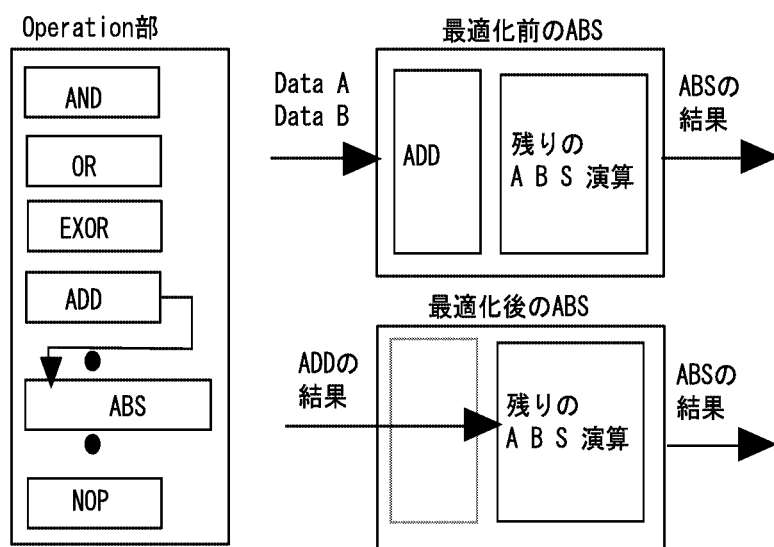


図 3.2 共有化の例

3.1.3 共有化の不可能な例

共有化ができないときの例を挙げる。図 3. 3 に示すようにある演算を行いその演算結果同士を **ADD** (加算) する命令があるとすると、このとき、ある命令内で必要な値は演算後の **Data A**、**B** の値 (図中の **Data A'**、**B'**) であり、**DATA A,B** の **ADD** の値は不必要である。であるから、このような状況のときには共有化は行なえないのである。以上のことより一般的に共有化が行なえるのは、入力データの演算結果が使用できる部分であるといえる。

3.2 パイプラインステージ

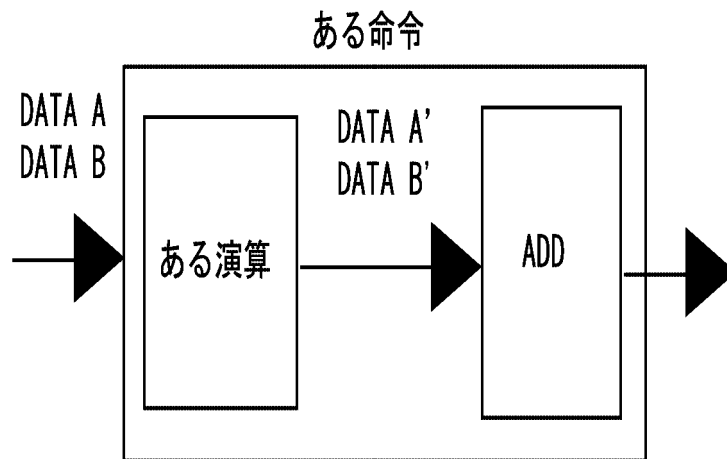


図 3.3 共有化の不可能な例

3.2 パイプラインステージ

一般的にパイプラインステージ数を増加させれば、スループットとハードウェア領域が増加する。(詳細は3. 3. 1パイプラインステージ化のスループット上昇を参照)では、スループットが最も良く更にハードウェア領域が少なくてもすむ最善のパイプラインステージ数は幾つなのか、具体的数字として論理的に検証する。

パイプラインステージの構造について簡単に説明する。パイプラインステージとは、FP内部でいえばCエレメントと **Data Latch** 同士の区間のことである。(図3. 4参照)

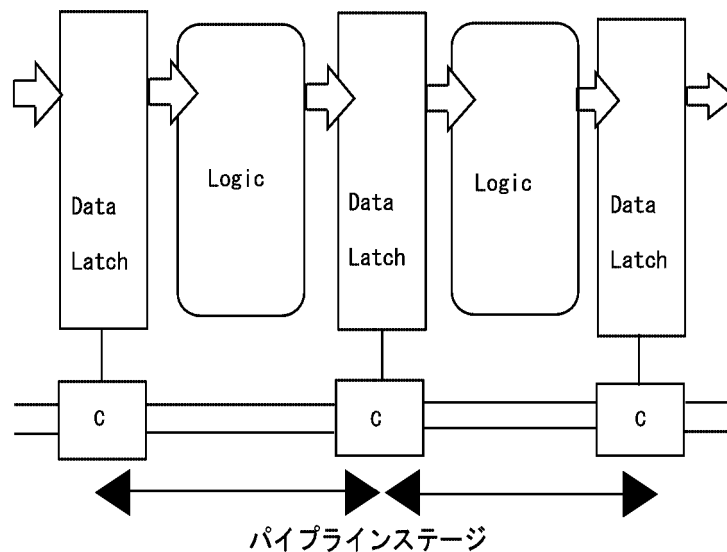


図 3.4 パイプラインステージ

3.2 パイプラインステージ

パイプラインのステージ間のデータ転送は自己同期転送制御装置（C エlement）の連鎖でコントロールされる（図 3. 4 中 C）。一般的に C エlementは **Send-in** 信号と **Ack-in** 信号の両方がアクティブな時に **Data Latch** にクロック信号を生成する。すなわち、**Send-in** 信号は先行ステージの処理されているパケットが **Data Latch** のインプットに入れられる用意ができていることを示し、**Ack-in** 信号は次ステージは空であることを示している。

3.2.1 パイプラインステージ化のスループットの上昇

パイプラインステージの論理的な最善数を検証する前に、スループットの上昇の説明を記す。パイプラインステージ化することでスループットは上昇すると記してきたが、それは何故なのかを説明し、証明をおこなう。尚、分割の際すべてのパイプラインステージ内の通過ゲート段数は同じであり演算時間も等しいとする。

単純に考えると **Data Latch** が 1 つ増えているわけだからゲート段数が増加してスループットも低下すると思う。しかしパイプラインステージが 2 つの時、前項で説明した C エlementのコントロールによって、2 つ目のステージにパケットデータが到着し、出発したとき、1 つ目のステージへ新しいパケットデータが送られる。このことによってゲート段数は増加するが、スループットは上昇する。

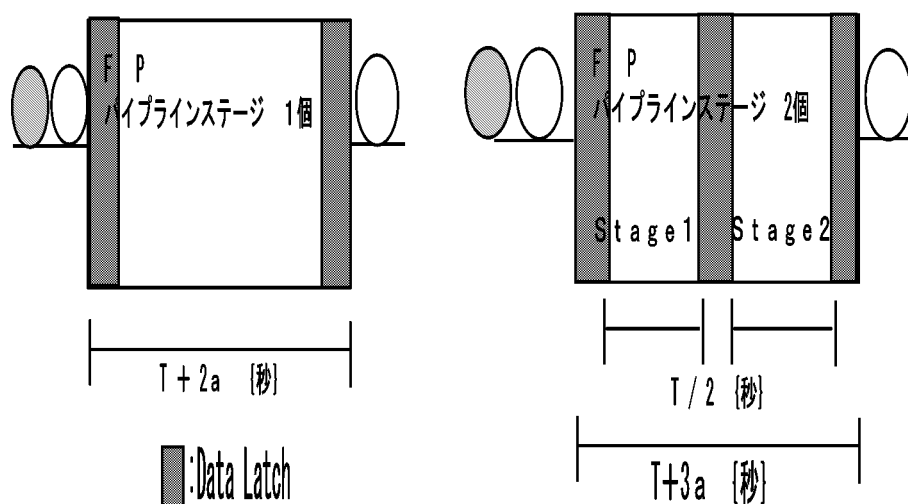


図 3.5 ステージ数

3.2 パイプラインステージ

では、次に本当にスループットは上昇しているのか論理的に検証してみる。図 3. 5 で表すように、パイプラインステージが 1 個のときは 1 つのデータの演算にかかる時間は T (秒) であり、1 つの **Data Latch** でのかかる時間は a (秒) である。結果、かかる時間は $T + 2a$ (秒) であり 1 秒間に処理できる回数は $1 / (T + 2a)$ (回/秒) となる。次に、パイプラインステージが 2 個のときは **Stage1** で $(T/2)$ (秒) にかかるので、結果かかる時間は $T + 3a$ (秒) であり 1 秒間に処理できる回数は $2 / (T + 3a)$ (回/秒) となる。上記 2 つの 1 秒間に処理できる回数を比べると、1 個のときが $1 / (T + 2a)$ であり 2 個のときが $2 / (T + 3a)$ である。1 個のときは

$$\frac{1}{T + 2a} = \frac{2}{2(T + 2a)} = \frac{2}{2T + 4a}$$

となるので、

$$\frac{2}{2T + 4a} < \frac{2}{T + 3a}$$

となり、結果パイプラインステージ 2 個のほうが時間効率は良くなる。

一般式や更に詳しい内容は後述とする。

3.2.2 ゲート段数の違いにより生じるスループットの変化

前項では、パイプラインステージ内部の演算ゲート段数は同じとして検証をおこなった。では、パイプラインステージ内部のゲート段数が異なるとスループットはどのように変化するのかを検証する。

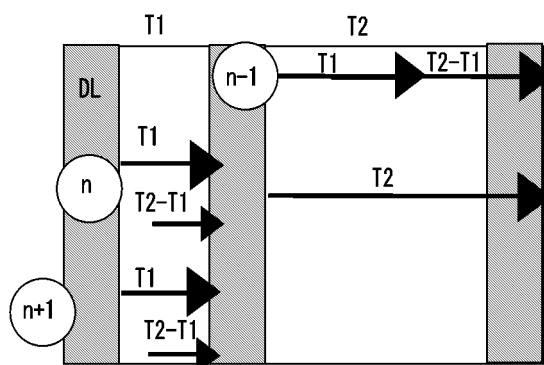


図 3.5 パイプラインステージ 2 段

3.2 パイプラインステージ

図3. 6で表すようなステージ数2つのときを例に考える。1つ目のパイプラインステージ内の演算時間を $T1$ 、2つ目のパイプラインステージ内の演算時間を $T2$ としDL (Data Latch) 内にかかる時間を a とする。またこのとき $T1 \leq T2$ とする。このときのスループットを計算すると、 n 番目のデータが1つ目のパイプラインステージの処理が終わったとき、 $n-1$ 番目のデータは2つ目のパイプラインステージの処理中であるため、 n 番目のデータは $(T2 - T1)$ だけ待ち合わせが発生する。次に n 番目のデータが2つ目のパイプラインステージの処理の途中のとき $n+1$ 番目のデータは同様に $(T2 - T1)$ の待ち合わせが発生する。よって n 番目のデータを処理するのにかかる時間は、

$$T1 + T2 + (T2 - T1) + 3a$$

となり、スループットは、

$$\frac{2}{T1 + T2 + (T2 - T1) + 3a}$$

となる。では、パイプラインステージ内の演算時間が同じのときと、比べてみる。前項より、パイプラインステージ内の演算時間が同じときのスループットは、

$$\frac{2}{T + 3a}$$

であり、 $T=T1+T2$ であるから

$$\frac{2}{T + (T2 - T1) + 3a} < \frac{2}{T + 3a}$$

となり、パイプラインステージ内の演算時間が同じときよりもスループットは低下している。では、パイプラインステージ数が1つのとき（パイプライン化をおこなって無いとき）と比べるとどうであろうか。パイプラインステージ数が1つのときのスループットは、

$$\frac{1}{T + 2a} = \frac{2}{2T + 4a}$$

であるから、分子は同じであるので分母どうしを比較する。

$$(2T + 4a) - (T1 + T2 + (T2 - T1) + 3a)$$

$T=T1+T2$ であるから、

$$2T1 + 2T2 + 4a - T1 - T2 - T2 + T1 - a3$$

3.2 パイプラインステージ

$$= 2T_1 + a > 0$$

となり、パイプライン化しないよりはスループットは上昇している。

以上のことよりパイプラインステージ数2つのときに限っては、パイプライン化しないよりはスループットは上昇するが、パイプラインステージ内の演算時間を等しくしたときよりは、スループットは低下していることがわかった。

では、パイプラインステージが多くなってきたときは、どのような変化がおこるのかを検証する。

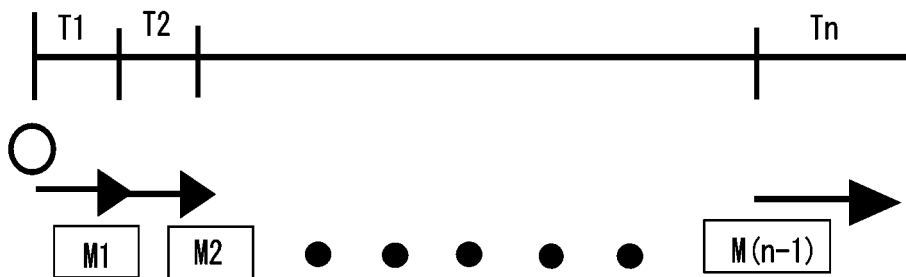


図 3.7 パイプラインステージ数 n 個

パイプラインステージ数が n 個のとき、各パイプラインステージ内演算時間を、 T_1 、 T_2 、 \dots 、 T_n とし、パイプラインステージの順序は変えることが可能なので $T_1 < T_2 < \dots < T_n$ とする。また各 **Data Latch** での待ち合わせ時間を M_n とする。(図 3. 7 参照)。では、このときの 1 回の処理時間を検証する。まず待ち合わせ 1 (図中、 M_1) を計算すると、

$$\begin{aligned} (T_2 - T_1) + (T_3 - T_2) + \dots + (T_n - T_{n-1}) \\ = T_n - T_1 \end{aligned}$$

同様に M_2 を計算する。

$$\begin{aligned} M_2 = (T_3 - T_2) + (T_4 - T_3) + \dots + (T_n - T_{n-1}) \\ = T_n - T_2 \end{aligned}$$

更に、 M_{n-1} を計算する。

$$M_{n-1} = (T_n - T_{n-1})$$

3.2 パイプラインステージ

Mの総和は、

$$(T_n - T_1) + (T_n - T_2) + \dots + (T_n - T_{n-1})$$

となるので、1回の処理時間は、

$$T + (n+1)a + (T_n - T_1) + (T_n - T_2) + \dots + (T_n - T_{n-1})$$

である。このとき $T = T_1 + T_2 + \dots + T_n$ であり、Mは $(n-1)$ 個存在するので、

$$nT_n + (n+1)a \tag{3.1}$$

となる。これは、1回の処理時間はパイプライン内で最も時間がかかるステージの演算時間に依存されることをあらわしている。

では、次に同様にパイプラインステージ内の演算時間が等しいものと比較する。パイプラインステージ内の演算時間が等しいものの1回処理するのにかかる時間は、

$$T + (n-1)a$$

で表せるので、

$$\begin{aligned} (nT_n + (n+1)a) - (T + (n-1)a) \\ = nT_n - T > 0 \end{aligned} \tag{3.2}$$

となり1回処理するのにかかる時間は演算時間が等しい方が短くなり、スループットも高いといえる。

次にパイプライン化していないものは、

$$\frac{1}{T + 2a} = \frac{n}{nT + 2na}$$

なので、比較すると、

$$\begin{aligned} (nT + 2nT) - (nT_n + na + a) \\ = n(T - T_n) + (n-1)a \end{aligned} \tag{3.3}$$

となり、 $T - T_n > 0$ より数式(3.3)は正であるといえる。これはパイプライン化していない方が、1回の処理時間は長くスループットも低いことをあらわす。

3.2 パイプラインステージ

以上のことより、パイプラインステージ内の各ステージの演算時間が異なると、演算時間が等しいときよりスループットは低下するものの、パイプライン化しないときよりは、スループットが上昇することがわかった。

3.2.3 パイプラインステージ数とスループットの関係

ここではパイプラインステージ数とスループットの関係を検証する。まず、演算にかかる時間を T (秒)、**Data Latch** でかかる時間を a (秒)、パイプラインステージ数を n (個) (ただし n は正の整数) とすると、**Data Latch** 内はフリップフロップなので

$$T > a > 0 \quad (3.4)$$

が成り立つ。また 1 回処理するのにかかる時間は以下のように成る。

$$T + (n + 1)a \quad (\text{秒})$$

更に 1 秒間に処理できる回数は以下のように成る。

$$\frac{n}{T + (n + 1)a} \quad (\text{回/秒}) \quad (3.5)$$

ここで、パイプラインステージの数を限りなく増加させると以下のように成る。

$$\begin{aligned} & \lim_{n \rightarrow \infty} \frac{n}{T + (n + 1)a} \\ &= \lim_{n \rightarrow \infty} \frac{\frac{n}{n}}{\frac{T}{n} + a + \frac{a}{n}} \\ &= \frac{1}{a} \end{aligned}$$

となり、 $1/a$ に収束する。これはパイプラインステージ数を限りなく増加させても 1 秒間で処理できる回数は $1/a$ (回/秒) 以上にはならないことを示す。では、以上のことより検証をおこなう。まず数式 3.5 の 1 秒間に処理できる回数を y とおく。

$$y = \frac{n}{T + (n + 1)a}$$

3.2 パイプラインステージ

$$y = \frac{n}{an + T + a} \tag{3.6}$$

$n \div (an + T + a) = \frac{1}{a} \dots - \frac{T}{a} - 1$ となるので

$$\begin{aligned} y &= \frac{-\frac{T}{a} - 1}{an + T + a} + 1 \\ y &= -\frac{T + a}{a^2n + a^2 + aT} + \frac{1}{a} \\ y &= -\frac{T + a}{a^2n + -(a - T)a} + \frac{1}{a} \end{aligned} \tag{3.7}$$

となる。更に $n = 1$ のとき

$$\begin{aligned} y &= -\frac{T + a}{a^2 - a^2 - aT} + \frac{1}{a} \\ &= \frac{T + a}{aT} + \frac{1}{a} > 0 \end{aligned}$$

となる。また一般的な 1 秒間に処理できる回数は以下のようにも書ける。

$$\frac{T + a}{(n - 1)a + aT} + \frac{1}{a}$$

よってこのグラフは直角双曲線 $y = -\frac{T+a}{a^2n}$ を x 軸方向に $1 - \frac{T}{a}$, y 軸方向に $\frac{1}{a}$ だけ平行移動したものであり、漸近線は 2 直線 $x = 1 - \frac{T}{a}$, $y = \frac{1}{a}$ である。図 3. 8 参照

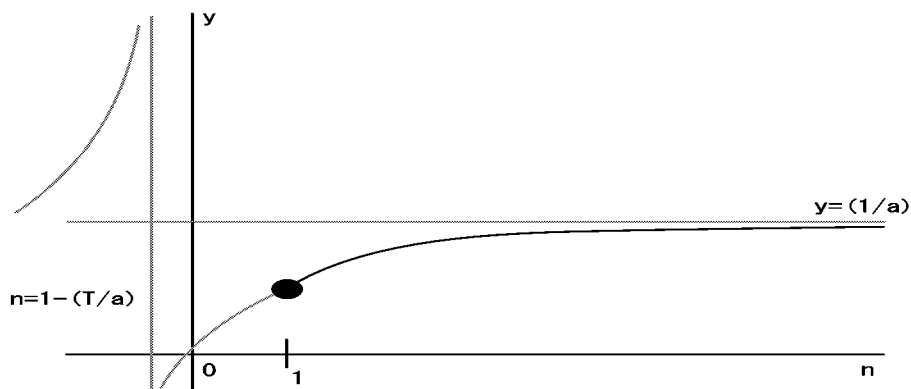


図 3.8 $y = -\frac{T+a}{a^2n + -(a-T)a} + \frac{1}{a}$ のグラフ

3.2 パイプラインステージ

3.2.4 パイプラインステージ数とハードウェア領域の関係

では、次にパイプラインステージ数とハードウェア領域の関係を検証する。

まず演算に必要なハードウェア量（ゲート数）を H （個）、パイプラインステージ数を n （個）

Data Latch のハードウェア量（ゲート数）を b とすると、

$$H > b > 0 \quad (3.8)$$

が成り立つ。また、1回の処理の総ハードウェア量は以下のようなになる。

$$H + (n + 1)b \quad (\text{個})$$

これは、総ハードウェア量はパイプラインステージ数が増加すればするほど、比例して増加することを示す。ここで、ハードウェア量は少ないほうが好ましいので逆数をとる。ハードウェア量を、 y_2 とおくと

$$y_2 = \frac{1}{bn + (b + H)} \quad (3.9)$$

となる。このとき $n = \frac{H+1}{b}$ のとき分母は0となるので、この式のグラフは、直角双曲線 $y_2 = \frac{1}{bn}$ を x 軸方向に $\frac{H+1}{b}$ だけ平行移動したものであり、漸近線は2直線 $n = \frac{H+1}{b}$ 、 $y_2 = 0$ である。図3.9参照。

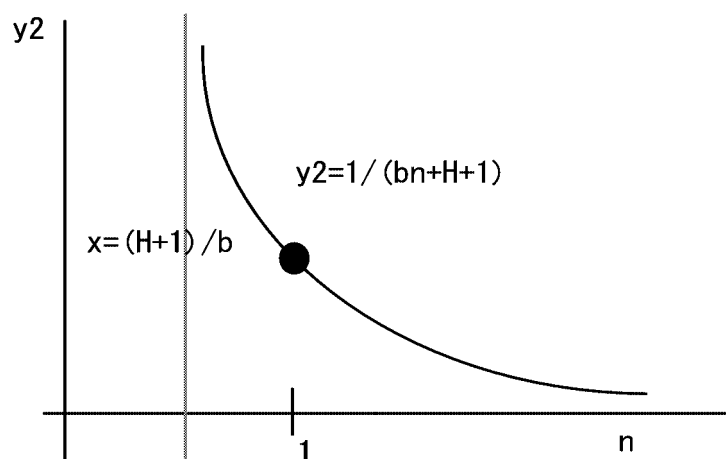


図 3.9 $y_2 = \frac{1}{bn + H + 1}$ のグラフ

3.2 パイプラインステージ

3.2.5 パイプラインステージ数の論理的最善数

前述したとおり、スループット性能はパイプラインステージ数の増加に伴い上昇する。しかし、そこにはC要素の性能という上限が存在する。

自己タイミング型演算機構はC要素でコントロールされていることは前述してあるが、そのコントロールしているもの自体のスループット性能を越える性能が、演算機構にあったとしても、C要素の性能以上の性能をだすことはできない。

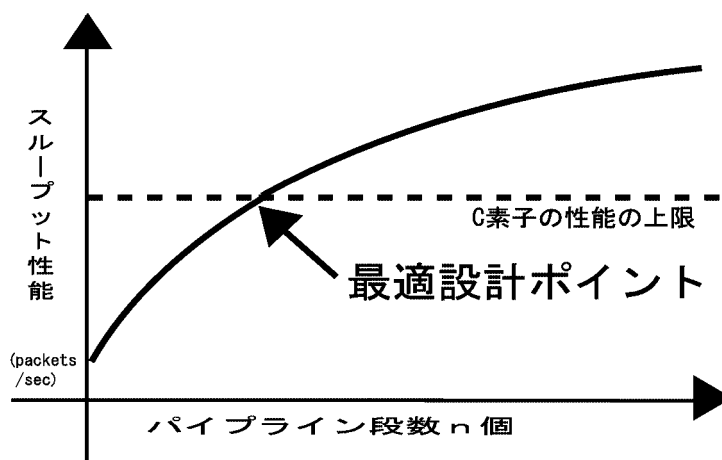


図 3.10 スループット性能の上限

要するに、C要素のスループット性能（図中点線）と数式 3.7 の曲線（図中実線）のスループット性能が低い方が演算機構全体のスループットの性能となる（図 3.10 参照）。よって 2 つの線の交点が最適設計ポイントであり、それ以下の最大の n がパイプラインステージ数の論理的最善数といえる。

第 4 章

FP(Functional Processing Unit) 部の設計と構造

4.1 設計指針

ここでは、前章での最適設計指針にしたがって、データ駆動プロセッサの主要部分の 1 つでありゲート段数、ゲート数が最も多く存在し、演算部のアルゴリズムに改善の余地があるであろう FP 部の設計をおこなう。このときの主な設計指針はハードウェア領域の減少のための共有化を行なうことと、スループット上昇のためのパイプライン化において最善パイプラインステージ数を導出し、適用をおこなうことである。

4.2 FP (Functional Processing Unit) 部の構造

まず始めに、FP 部の構造を記す。(図 4. 1 参照)。尚、図 4. 1 は構造を便宜的に記したものであるため、実際の構造とはパイプラインステージ数が異なる。

入力データは、データを記憶するモジュールである **Data Latch** を通る。そして、Op.code(オペレーションコード)は **DECODE** 部へ、その他のデータ (**Dest.node, Generation id., DataA, DataB**) は **Operation** 部へとそれぞれ流れる。その後、**DECODE** 部、**Operation** 部での結果の値を **SELECT** 部へ送り **Data Latch** を通り FP 部の最終的な出力となる。

次に FP 部における入出力パケットについて説明する (図 4. 2 参照)。入力パケットは

4.2 FP (Functional Processing Unit) 部の構造

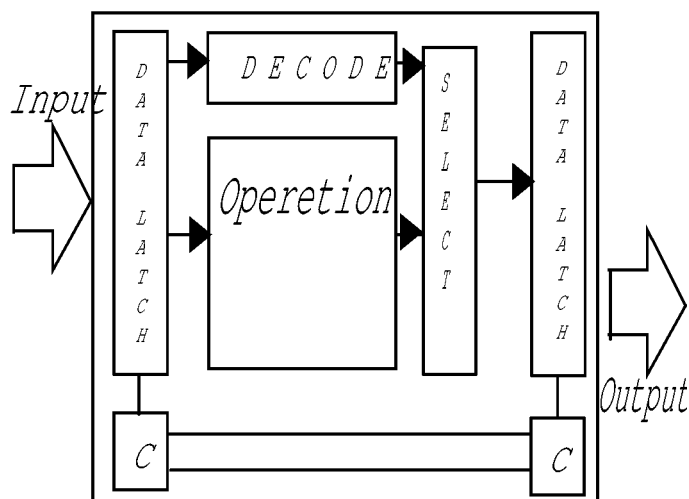


図 4.1 FP 部の構造図

Op.code 6bit、Dest.node (6bit+1bit) × 2 (+1bit は左入力、右入力のフラグ。× 2 は Truth と False)、Generation id. 24bit、Data A Data B (データ A、B。最上位 bit を符号 bit、数字は 2 の補数表現とする。) 12bit × 2 の全 68 bit となる。出力パケットは Op.code 6bit、Dest.mode 6bit+1bit、Generation id. 24bit、Result 12bit の 49 bit となる。

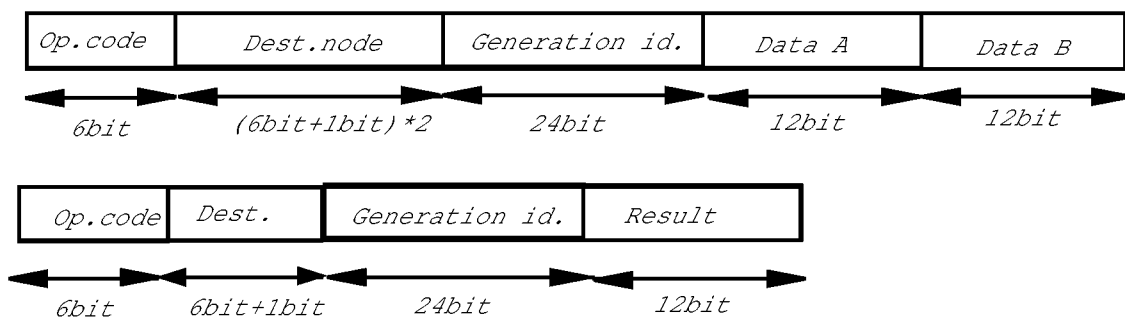


図 4.2 入力パケット (上)、出力パケット (下)

4.2.1 C (Self-timing transfer control circuit)

Data Latch 同士を結ぶ自己同期転送制御装置。C は、前の Data Latch よりパケットが送られ現 Data Latch の Input に入れられる用意が出来ていること、次の Data Latch は空であることの 2 つを信号によってやりとりし、現 Data Latch にパケットを送れという信号を出す。これによって、時間短縮を計る。

4.2 FP (Functional Processing Unit) 部の構造

4.2.2 Operation 部

Operation 部では、Dest.node, Generation id., Data A, Data B, を演算する。ここで注意することは、Op.code での指定に関わらず全ての演算を行なうということである。よってここでの論理展開は重要であり、ゲート数に直接関係をもたらず部分である。

命令は、論理演算、シフト (Logical shift)、算術演算、比較、条件比較、世代操作、その他の7項目から成り、全26種類作成した。入力パケット、出力パケットを見てもらえば解るが、命令は全て入力は2入力で、出力は1出力である。1入力の命令については、各命令で詳細を記す。Op.code と命令の対応の全てを表にした (表 4.1、4.2 参照)。また、上位3 bit と下位3 bit で分けて判り易くしてある。

Op.code		命令
001	000	EXOR
	001	OR
	010	NAND
	011	NOR
	100	MUL
	101	SYNC
	110	NOP
010	000	ADD
	001	ABS
	100	SUB
	101	DIF
011	000	AGN
	001	SGN

表 4.1 Op.code 表 1

Op.code		命令
100	000	AND
	001	BIT
	010	SWBIT
101	000	ENOR
	001	EQ
	010	SWEQ
110	000	GT
	001	SWGT
	100	GE
	101	MAX
	110	MIN
111	111	SWGE
	000	LSH

表 4.2 Op.code 表 2

4.2 FP (Functional Processing Unit) 部の構造

各命令について記す。尚、アルゴリズムについては付録を参照。

論理演算

命令 **AND,OR,EXOR,NAND,NOR,ENOR** の6種類から成る。

入出力数 2入力。1出力。

変化データ **Data A, Data B.**

最大通過ゲート段数 1段

シフト (Logical Shift)

命令 **LSH**(**A** のデータを **B** のデータ分シフトする。) の1種類から成る。

入出力数 2入力。1出力。

変化データ **Data A, Data B.**

最大通過ゲート段数 2段

算術演算

命令 **ADD**(加算),**SUB**(減算),**DIF**(**A-B** の絶対値),**ABS**(**A+B** の絶対値),**MAX**(**A,B** の数の大きい方を出力),**MIN**(**A,B** の数の小さい方を出力),**MUL**(掛け算) の7種類から成る。

入出力数 2入力。1出力。

変化データ **Data A, Data B.**

最大通過ゲート段数 **ABS** 1 4段

比較

命令 **EQ**(**A=B** のとき、出力1。**A≠B** のとき出力0。), **GE**(**A ≥ B** のとき出力1。**A < B** のとき出力0。), **GT**(**A > B** のとき出力1。**A ≤ B** のとき出力0。), **BIT**(**A,B** の

4.2 FP (Functional Processing Unit) 部の構造

AND で一致してなければ出力 1、一致していれば出力 0) の 4 種類から成る。

入出力数 2 入力。1 出力。

変化データ Data A, Data B.

最大通過ゲート段数 GE、GT 1 7 段

条件分岐

命令 SWEQ(A=B のとき True より Data A を出力。A≠B のとき False より Data A を出力。), SWGE(A ≥ B のとき True より Data A を出力。A < B のとき False より Data A を出力), SWGT((A > B のとき True より出力 1。A ≤ B のとき False より出力 0), SWBIT(A,B の AND で一致してなければ True より出力 1、一致していれば False より出力 0) の 4 種類から成る。

入出力数 2 入力。1 出力。

変化データ Data A, Data B, Dest.node(行き先ノード)=True or False.

最大通過ゲート段数 SWGE、SWGT 1 7 段

世代操作

命令 SGN(Generation id.(世代番号) の下位 1 2 bit に B のデータを格納する。), AGN(Generation id.(世代番号) の下位 1 2 bit を A のデータに書く。) の 2 種類から成る。

入出力数 2 入力。1 出力。

変化データ Data A, DataB, Generation id(世代番号)。

最大通過ゲート段数 0 段

4.2 FP (Functional Processing Unit) 部の構造

その他

命令 **SYNC**(出力は右入力に依らず、左入力), **NOP**(入力データをそのまま出力。) の 2 種類から成る。

入出力数-**SYNC**- 2 入力。 1 出力。

入出力数-**NOP**- 1 入力。 1 出力。

変化データ-**SYNC**- Data B。

変化データ-**NOP**- 変化無し。

最大通過ゲート段数 0 段

4.2.3 DECODE 部

基本的命令 26 種のオペレーションコードを判別し指定された命令を割り出す部分。入力 は **Op.code**(オペレーションコード)6bit。出力は指定されたものを出力“1”とし、その他を出力“0”とする。**Op.code**(オペレーションコード)は、上位 3bit、下位 3bit ずつ判別し、そのまま出力する形をとった。これは、再利用への対応とともに SELECT 部での使い易さを考えたものである。(図 4. 3 参照)

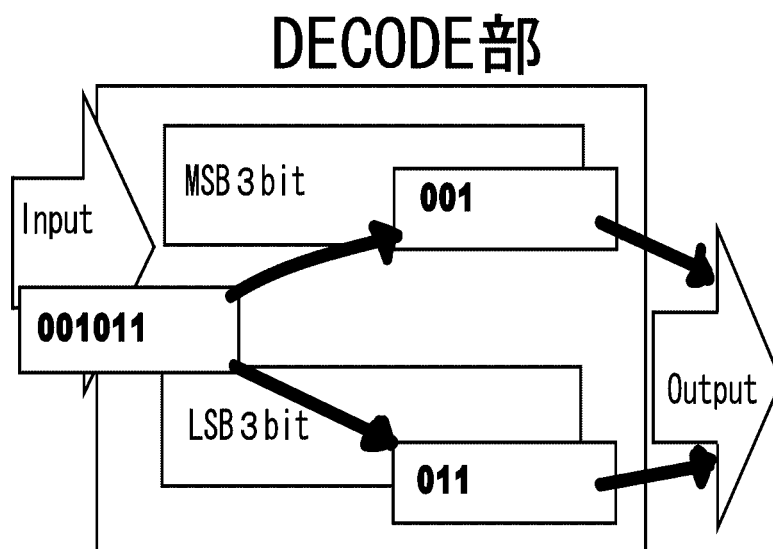


図 4.3 DECODE 部の構造

4.2.4 SELECT 部

DECODE 部よりの出力と Operation 部よりの演算結果を照合し、指定された Op.code の演算結果を出力する。アルゴリズムとしては、2つの出力のOR（論理和）をとる。

4.3 設計

前述の設計指針にしたがってF P部の設計をおこなう。前述の設計指針をまとめると以下のようになる。

設計指針 1 ハードウェア領域の減少のため共有化、アルゴリズムの工夫をおこなう。

設計指針 2 スループット上昇のため、最適パイプライン化をおこなう。

4.3.1 設計指針 1 – 共有化

最適設計指針に従って実際に共有化をおこなった基本命令を記す（図 4. 4 参照）。ADD (SUB) 出力を使用して、ABS (DIF) を求める。AND 出力を使用して BIT を求め、BIT 出力を使用して SWBIT を求める。ENOR 出力を使用して EQ 出力を求め、EQ 出力を使用して SWEQ を求める。GT 出力を使用して SWGT を求める。GE 出力を使用して、MAX、MIN、SWGE 出力を求める。

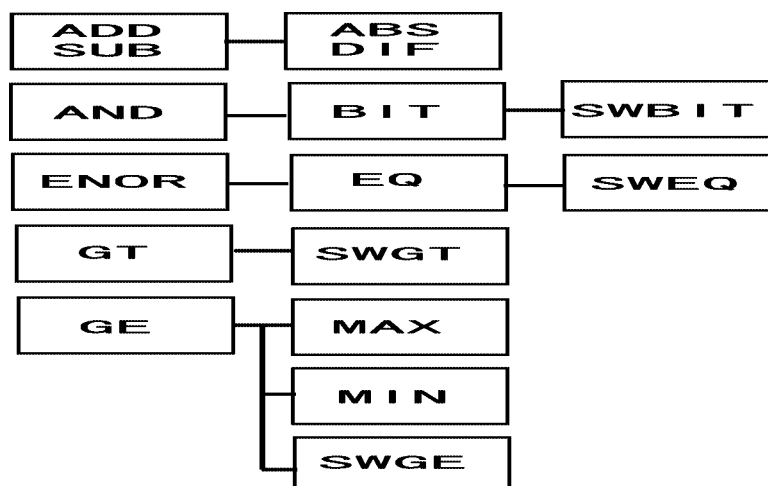


図 4.4 共有化をおこなった命令

基本命令GEのアルゴリズムの決定

では、ここで共有化を行なわなかったものについて触れる。前述のとおり、共有化をおこなうことによってハードウェア領域は減少する。しかしアルゴリズムによっては、ゲート段数が増加しスループットが低下することがある。そのとき、どちらを優先すべきかが問題となる。ここでは、本研究で設計、構築をおこなうFP内部の基本命令GE ($A \geq B$ のとき出力1。 $A < B$ のとき出力0) を例にどちらを優先すれば良いのかを検証する。

SUB出力を使用する共有化とGE独自のアルゴリズム〔アルゴリズムの詳細は付録Aを参照。〕を使用する場合について検討する。まず表3. 1、3. 2でのTOTAL部分のゲート段数の説明をしておく。TOTAL部分のゲート段数は単純な加算ではなく、桁上げ（もしくは、桁下げ）信号を出すのに必要なゲート段数を加算していき最終的なbitでの出力のゲート段数を加えて総ゲート段数としている。では検討をおこなう。SUB出力を使用した場合共有化により、SUBの結果を出力するのにハード量（ゲート数）は使用しないが、ゲート段数が19段かかるためスループットは独自アルゴリズムを使用する場合と比べると低下する（表参照。）。その上、SUB出力のままではGEの結果にはならないので更に1, 2段は要する。では、独自アルゴリズムを使うとどうであろうか。同様に表をみれば判る通りゲート数は60個増加するもののゲート段数は14段で済ますことができる。後々のパイプライン化を考えると他の基本命令と比較してゲート段数が多い基本命令のゲート段数は少しでも減らしておきたい（詳細は次の項目で触れる。）ので、ここでは独自アルゴリズムによって基本命令GEを構築するものとする。

尚、本研究においては、このような結論となったが他の基本命令のゲート段数や、スループットとハードウェア量の優先順位によってはこの限りではない。

4.3 設計

	ゲート数	段数
0～3 bit	20	6
4～7 bit	20	6 ¹
8～11 bit	20	5 ¹
TOTAL	60	14

¹ 桁下げ信号は4段

表 4.3 独自アルゴリズム

	ゲート数	段数
0～3 bit	86	9 ¹
4～7 bit	86	9 ¹
8～11 bit	88	11
TOTAL	無	19

¹ 桁上げ信号は4段

表 4.4 SUB 出力

4.3.2 設計指針 2 - パイプライン化

前述の最適設計指針に従って、パイプライン化をおこなう。

まず C エLEMENT のスループット性能は

$$\frac{1}{10} \quad (\text{回/ns})$$

となる。また、前述の数式 3.5 における $T = 31$ 、 $a = 2$ となり、

$$\frac{n}{31 + 2n + 2} = \frac{n}{33 + 2n} \quad (\text{回/ns})$$

となる。以上のことより最適設計ポイントは

$$\begin{aligned} \frac{n}{33 + 2n} &= \frac{1}{10} \\ 33 + 2n &= 10n \\ n &= \frac{33}{8} \\ &= 4.1... \end{aligned}$$

となり、 n の最大値は 4 となる。この結果に従ってパイプライン化を行なう。その際各パイプラインステージ内の演算回路ゲート段数を、できる限り等しくする必要がある。前述したが、パイプラインステージ内のゲート段数の最も多い部分にパイプラインステージ全体の処理時間は依存される。よって、ゲート段数が最も多いものを基本に考える。すると最も

4.3 設計

ゲート段数が多いものは **ADD (SUB)**、**ABS (DIF)** の 7 段、8 段である。しかも、**ABS (DIF)** は **ADD (SUB)** の出力結果が必要であるため、後述するが 4 **BIT** ずつでは 4 段に収まらない。また **ADD (SUB)**、**ABS(DIF)** は桁上げ先見加算機を基本に設計しているため、次 **bit** の出力結果を得るには桁上げ信号が必要である。更に 4 段のパイプライン化において、最後の 4 つめの段には **SELECT** 部が必要であり全演算結果を要する。以上のことにより、**ADD(SUB)**、**ABS(DIF)** を 6 **bit** 演算にする必要がある。その結果、各パイプラインステージ内の段数は、7 段、8 段、8 段、8 段となる。(図 4.5 参照)

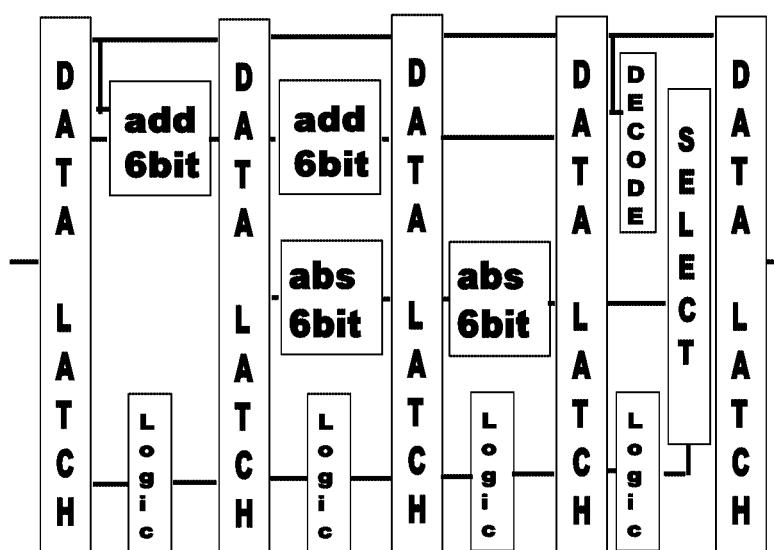


図 4.5 最適パイプライン

4.3.3 再利用への対応

ここでは、再利用への対応として拡張されやすいよう構築した部分の説明をおこなう。

4bit 演算

Data が 1 2 **Bit** であるため 1 2 **Bit** 用のものを作成していたが、再利用、拡張を考慮し 4 **Bit** 用のものを作成しそれを 3 つ並べて 1 2 **Bit** 用とした。しかし、命令 **LSH** については全場合のシフトを想定し場合分けのアルゴリズムを使っているためこの限りではない。また前述のとおり **ADD(SUB)**、**ABS(DIF)** も 6 **bit** 演算とした。

Op.code

共有化との関係で **Op.code** を決定してあるので、再利用の際、命令を増やすときに共有化する命令の部分に追加しやすくしてある。

第 5 章

結論

本研究では、2章ではデータ駆動プロセッサの構造について記述した。また3章ではハードウェア、スループットを中心に論理的に最善策を検証した。また4章ではFPについての構造について述べ、3章での論理的な最善策に従って設計をおこい目標性能を達成できる見通しを得た。

今後の課題として挙げられるのは、論理的な最善策の決定におけるパラメータを増加させ一般化にすることである。本研究の結果では、例外の無い非同期回路の最善パイプラインステージ数しか検索は出来ない。また並列処理のパイプライン化は並べ方によっては、全体の演算時間が大きく変動する。最善のパイプラインステージ数は一般化の式より導きだすことができるが、どの部分を並列処理にして各パイプラインステージ内のゲート段数は幾つが最善なのかは導くことはできない。よって、更なる研究で、並列処理のパイプライン化における各パイプラインステージ内の最善ゲート段数の検証を必要とする。

将来展望として、今後の課題で挙げた事柄が解決できれば、最善のパイプラインステージ数が導きだすことができ、パイプラインステージ内の最善ゲート段数をも導くことができる。そうなれば、これから更に巨大になるであろうLSIの設計、構築においてパイプライン化が円滑、かつ正確におこなうことができるようになる。これによって、大幅な時間短縮と有益なハードウェア領域を取得することができる。

謝辞

本研究において、懇切なる御指導、御鞭撻を賜った高知工科大学の岩田 誠助教授に心より感謝の意を表します。

本研究を進めるにあたり、適切な御助言、御指導を賜った大森 洋一助手に深く感謝の意を表します。

日頃から御支援、適切な御指導を頂いた細美 俊彦氏に感謝の意を表します。

日頃らご支援頂いた情報システム工学科 岩田研究室の方々、別役 宣奉氏、前田 庸亮氏、森川 大智氏、橋本 正和氏、仮屋 文彦氏に感謝の意を表します。

参考文献

- [1] <http://darwin.kz.tsukuba.ac.jp/bit.FPGA.html>
- [2] <http://www.sharp.co.jp/sc/gaiyou/news/970331.htm>
- [3] H.Terada,S.Miyata,M.Iwata,"DDMP's: self-timed super-pipelined data-driven multimedia processors", Proc.of IEEE,87(2),pp.282-296(1999).
- [4] 工学博士 田丸啓吉,“論理回路の基礎”, 工学図書株式会社,1988.
- [5] 井川 満、井関兼四郎、伊東清三、大島利雄、加藤順二、塩田徹治、渡辺信三,“数学Ⅲ”, 数研出版株式会社,1966.
- [6] 西本敏彦,“微分積分学講義”, 培風館,1966.

付録 A

FP 部の各命令のアルゴリズム

A.1 論理演算

各ビットの論理演算をとる。

A.2 シフト

LSH は、**B** のデータ分 **Logical Shift** するが、**B** データの最上位 bit が 0（正数）なら左シフト、1（負数）なら右シフトを行なう。データのビット数より 11 bit のシフトまでなので全ての場合の回路を作成し、**DataB** よりシフト数を判別し、信号として出力し場合分け回路との論理積 (**AND**) をとり出力としてある。

A.3 算術演算

ADD 参考文献 [4] より 4 bit 桁上げ先見加算回路をベースにした。ここでは、4 bit を 1 ブロックとし 3 ブロック使用し 12bit に対応させてある。更にブロックごとに上位ブロックへの桁上げ信号を発生させているため入力データの bit 数が増加しても拡張しやすく一般的であり、どのレベルのブロックにも対応できる。**Over Flow** 対策としては、最上位 bit に追加 bit (13 bit 目) を複製し 13 bit 目を符号 bit として扱った表 A. 1 参照。また、**SUB** も **Op.code** の信号より入力データを変化させ、**ADD** と同じ回路を使用した。これによって、ハードウェア量の減少をおこなった。

MAX,MIN 後に記す **GE(A ≥ B のとき出力 1。A < B のとき出力 0。)** を使用する。

A.4 比較

13bit	12bit	符号
0	0	正
0	1	正 ¹
1	0	負 ¹
1	1	負

¹ Over Flow

表 A.1 Over Flow

MAX を例に説明すると、GE よりの出力と Data A の AND をとり、GE よりの出力の否定と Data B の AND をとる。2つの出力の OR をとり、最終出力とする。MIN は Data A と Data B を逆転させる

DIF,ABS ADD,SUB の出力を使用し作成。ADD よりの出力は Op.code により ADD 出力と SUB 出力とに変化する。よってその出力を絶対値表現に変換させる。尚、出力データの最上位 bit は常に 0 とする。ABS を例に説明すると、ADD を通過した結果を正数の時はそのまま、負数の時は演算回路に通し、2つのデータの各 bit(最上位 bit は除く)の OR をとり最終結果とする。図 3.3 参照。正数のときは絶対値はそのままが良いが、負数のときは2の補数表現に変換させる必要がある。

A.4 比較

EQ 各 bit に ENOR を通し、その結果を AND で判定する。

BIT 各 bit に AND を通し、結果を否定し出力。

GE,GT 方法は2つ考えられる。1つは SUB を使用する方法である。もう1つは最上位 bit より段階的に判定していく方法である。最大通過ゲート数を考え後者で作成する。GE を例に説明する。第1に最上位 bit から調べる。最上位 bit は符号 bit として扱っていることに注意しながら、最上位 bit での $A > B$ 、 $A < B$ 、 $A = B$ の3つの場合を調べる。 $(A > B$

A.5 条件分岐

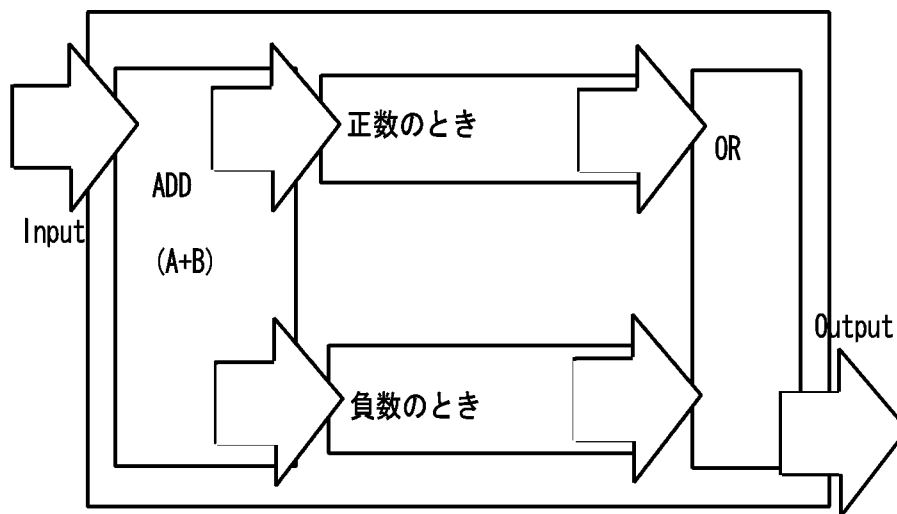


図 A.1 ABS の構造図

の出力は $A > B$ の時 1 でその他は出力 0。 $A < B$ の出力は $A < B$ のとき出力 0 で、その他は出力 1。 $A = B$ の出力は $A = B$ の時出力 1 でその他は 0。) その後 $A > B$ 、 $A < B$ の結果の OR をとる。 $A = B$ のときは、1 つ下の bit(この場合は 1 1 bit 目) に信号を出す (これをイコール信号と仮に呼ぶ)。次に 1 1 bit を調べる。ここでは 1 1 bit 目だけの $A < B$ 、 $A = B$ を調べ $A < B$ の結果と上位 bit(この場合は 1 2 bit 目) からのイコール信号との NAND をとり、 $A = B$ の結果と上位 bit からのイコール信号との AND をとる。そして更に下位 bit でも同様に繰り返し最下位 bit まで続ける。最下位 bit では、 $A < B$ だけを調べ上位 bit からのイコール信号との NAND をとる。そして最終的にそれぞれの bit の出力の AND をとる。最終的に AND (論理積) をとるので各 bit での出力 ($A < B$ の時のみ出力 0 ができるように作成) が 1 のときは他での分別が可能であるが、 0 ならばその出力に依存される。図 3. 4 参照。

A.5 条件分岐

SWEQ EQ を使用する。EQ よりの出力が 1 のとき Dest.node の True を Dest.node とし、EQ よりの出力が 0 のとき Dest.node の False を Dest.node とする。

SWGE GE を使用する。GE よりの出力が 1 のとき Dest.node の True を Dest.node と

A.6 世代操作

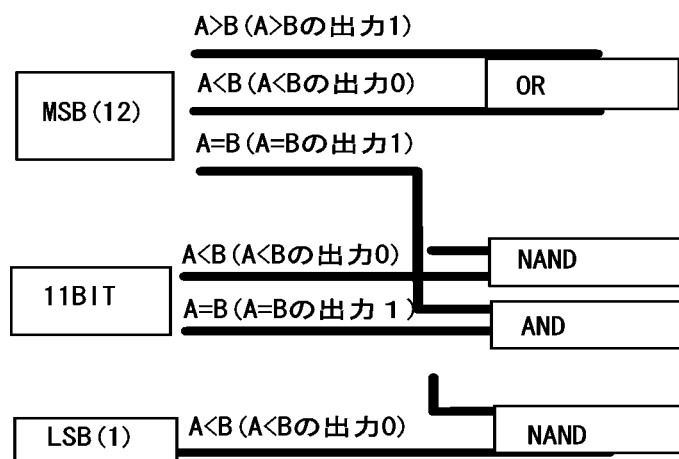


図 A.2 GE の構造図

し、GE よりの出力が 0 のとき Dest.node の False を Dest.node とする。

SWGT GT を使用する。GT よりの出力が 1 のとき Dest.node の True を Dest.node とし、GT よりの出力が 0 のとき Dest.node の False を Dest.node とする。

SWBIT BIT を使用する。BIT よりの出力が 1 のとき Dest.node の True を Dest.node とし、BIT よりの出力が 0 のとき Dest.node の False を Dest.node とする。

A.6 世代操作

AGN Generation id. の下位 12 bit を A のデータに書く。

SGN Generation id. の下位 12 bit に B のデータを格納する。

A.7 その他

SYNC 左入力をそのまま出力。

NOP A データをそのまま出力。